

همسان‌سازی و بیان نوترکیب دُمین انتهای کربوکسیل پروتئین اینتیمین پاتوژن EHEC در باکتری اشرشیا کلی سویه BL21(DE3)

مصطفی بخشی^۱، فیروز ابراهیمی^{۲*}، حبیله شیخزاده^۳

چکیده

زمینه و هدف: بخشی از عفونت‌های روده‌ای به‌واسطه پاتوژن‌هایی به‌وجود می‌آیند که با مصرف مواد غذایی آلوده وارد سیستم گوارش انسان می‌شوند. در لانه‌گرینی باکتری *E. coli* O157:H7 در روده بزرگ مجموعه‌ای از پروتئین‌ها که برخی از آنها شروع کننده این فرآیند بوده و فقدان آنها مانع از این پدیده می‌شود، دخیل هستند. هدف از انجام این پژوهش همسان‌سازی و بیان نوترکیب پلی‌پپتید انتهای کربوکسیل پروتئین اینتیمین به طول ۳۱۱ اسید آmine به عنوان کاندید واکسن علیه *E. coli* O157:H7 بوده است.

روش بورسی: طراحی پرایمر اختصاصی برای زن *eae* با استفاده از نرم‌افزار Oligo نسخه ۷ انجام شد و تکثیر زن به‌وسیله واکنش PCR از روی DNA الگو صورت گرفت. واکنش‌های هضم آنزیمی و الحاق زن، درون وکتور pET28a(+) انجام شد. پس از تأیید همسان‌سازی زن، بیان نوترکیب پروتئین اینتیمین با استفاده از القاگر IPTG صورت گرفت. برای تأیید پروتئین اینتیمین، آنالیز وسترن بلاط انجام شد.

یافته‌ها: همسان‌سازی زن *eae* درون وکتور pET28a(+) به شکل مناسب بین جایگاه‌های مطلوب انجام شد و پروتئین اینتیمین پس از القا، بیان نوترکیب مناسب و قابل توجهی را نشان داد. آنتی‌بادی مورد استفاده در وسترن بلاط نیز توانست به شکل مناسبی اینتیمین را شناسایی کند.

نتیجه‌گیری: در این مطالعه، سازه پایدار محتوی زن *eae* ساخته شد که بیان نوترکیب قابل توجهی از پروتئین اینتیمین را از خود نشان داد. بنابراین، این سازه را می‌توان برای تولید پروتئین اینتیمین جهت مطالعات اینمی‌زایی علیه *E. coli* O157:H7 به کار برد.

کلید واژه‌ها: اشرشیا کلی؛ انتهای کربوکسیل اینتیمین؛ همسان‌سازی؛ پروتئین نوترکیب.

لطفاً به این مقاله به صورت زیر استناد نمایید:

Bakhshi M, Ebrahimi F, Sheikhzade V. Cloning and recombinant expression of intimin c-terminal domain of EHEC pathogen in *E. coli* BL21(DE3) strain. Qom Univ Med Sci J 2015;9(7):1-10. [Full Text in Persian]

^۱دانشجوی دکتری نانوپیوتکنولوژی، مرکز تحقیقات زیست‌شناسی، دانشکده و پژوهشکده علوم پایه، دانشگاه امام حسین (ع)، تهران، ایران.

^۲استادیار پیوشهایی بالینی، مرکز تحقیقات زیست‌شناسی، دانشکده و پژوهشکده علوم پایه، دانشگاه امام حسین (ع)، تهران، ایران.

^۳کارشناس ارشد تکنولوژی مواد غذایی، گروه علوم و صنایع غذایی، دانشگاه آزاد اسلامی، قوچان، ایران.

*نویسنده مسئول مکاتبات:
فیروز ابراهیمی، مرکز تحقیقات زیست‌شناسی، دانشکده و پژوهشکده علوم پایه، دانشگاه امام حسین (ع)، تهران، ایران؛

آدرس پست الکترونیکی:
febrhimi@ihu.ac.ir

تاریخ دریافت: ۹۳/۹/۱۰

تاریخ پذیرش: ۹۳/۱۱/۱۳

مقدمه

بهنحوی که این پروتئین به همراه پروتئین EspA، جزء شاخص‌های بیماری‌زایی *E. coli* O157:H7 تلقی می‌گردد (۹۸). این پروتئین دارای دو ناحیه عملکردی است که عبارتند از: ناحیه انتهای آمین که به شدت در بین سویه‌های EPEC و EHEC حفظ شده و درون غشای خارجی باکتری قرار می‌گیرد و ساختاری شبیه بشکه‌ای بنا را شکل داده و دیمریزاسیون را تسهیل می‌کند. ۲۸۰ آمینواسید انتهای کربوکسیل اینتیمین (Int280) متغیر بوده و معرف چند نوع اینتیمین است که نقش اصلی در اتصال پروتئین به گیرنده اختصاصی اش برای اتصال به سطح سلول اپی‌تیلیوم روده را دارا می‌باشد (۱۰). این ناحیه از ۳ بخش کروی تشکیل شده است، بخش شبیه ایمنوگلوبولین، بخش شبیه لکتین ناحیه C و بخش انتهایی که به همراه بخش شبیه ایمنوگلوبولین در برگیرنده جایگاه اتصال به گیرنده می‌باشد (۶).

در بین سروتاپ‌های EHEC، عمدۀ زیرنوع‌های اینتیمین HC (Hemolytic Uremic Syndrome) HUS و (Hemorrhagic Colitis) (Hemorrhagic Colitis) می‌شوند عبارتند از: زیرنوع‌های آلفا، بنا و گاما (۱۱,۶). در این پژوهش با استفاده از تکنولوژی DNA نوترکیب، اقدام به همسانسازی و بیان نوترکیب پلی‌پتید انتهای کربوکسیل پروتئین اینتیمین متشکل از ۳۱۰ باقیمانده آمینواسیدی به وزن مولکولی ۳۴ کیلو Dalton شد تا بتوان در مطالعات آینده از این محصول به عنوان یک کاندید واکسن علیه پاتوژن *E. coli* O157:H7 استفاده کرد.

روش بررسی

توالی آمینواسیدی انتهای کربوکسیل اینتیمین از پایگاه NCBI با عدد دسترسی WP_001412022.1 استخراج شد و پس از بررسی اطلاعات مربوط به شکل عملکردی این ناحیه از پروتئین اینتیمین مانند پتید نشانه (Signal Peptide)، اپی‌توب‌های خطی و فضایی، برگرداندن توالی آمینواسیدی به توالی نوکلئوتیدی توسط نرم‌افزار ترجمه معکوس صورت پذیرفت (۱۲). تکثیر ۹۳۰ نوکلئوتید انتهای ۳' ژن *eae* (کدکننده دُمین انتهای کربوکسیل اینتیمین) به‌وسیله تکنیک PCR با استفاده از پرایمرهای اختصاصی طراحی شده با استفاده از نرم‌افزار Oligo نسخه ۷ انجام شد (جدول شماره ۱).

اسهال حاد توسط بسیاری از عوامل عفونی ویروسی، باکتریایی و انگلی به وجود آمده و از عوامل اصلی مرگ و میر، بهخصوص در کودکان محسوب می‌شود. شیوع اسهال ناشی از سویه‌های اشرشیا کلی در سراسر جهان، بهویژه در مناطقی که از سطح بهداشت پایین‌تری برخوردارند، بالا می‌باشد. باکتری *E. coli* O157:H7 عاملی بیماری‌زا است که از طریق غذاهای آلوده وارد لوله گوارش انسان می‌شود (۱-۳). باکتری پس از لانه‌گزینی (Colonization) و تکثیر، مشکلات عدیده‌ای را برای فرد آلوده از قبیل اسهال خونی، Hemolytic Uremic Syndrome و Hemorrhagic Colitis ایجاد می‌کند (۴,۳). این ارگانیسم اولین بار در سال ۱۹۸۲ در جریان شیوع ورم مخاط خونریزی‌کننده در ایالات متحده شناسایی شد (۵).

در بین سویه‌های بیماری‌زای گونه *E. coli*، پاتوژن EHEC (Enterohaemorrhagic *Escherichia coli*) به دلیل همه‌گیری و قابلیت لانه‌گزینی سریع در دستگاه گوارش انسان، همچنین قابلیت تولید توکسین شیگا از اهمیت خاصی در مقوله مقابله با عفونت‌های روده‌ای برخوردار است (۶,۵).

تمام ژن‌های ضروری برای بروز آسیب‌های اتصال/زدودن (Attachment/effacement) در یک جزیره پاتوژنیسته کروموزومی با طول ۳۵-۳۶ کیلو‌جفت باز تحت عنوان لوکوس زدودن انتروسویت (Locus of Enterocyte Effacement) کد می‌شوند (۶). LEE را می‌توان به تعدادی نواحی مجزا تقسیم کرد. در یک انتهای ژن‌های ترشحی را کد کرده و برای انتقال پیام و آسیب‌های اتصال/زدودن مورد نیاز هستند. در انتهای دیگر ژن‌هایی قرار دارند که دستگاه ترشحی نوع ۳ را کد می‌کند و برای ترشح پروتئین‌ها از قبیل محصولات ژن‌های مذکور مورد نیاز است. ناحیه سوم بین این دو ناحیه حاوی ژن‌های *eae* و *tir* بوده که به ترتیب اینتیمین (یک پروتئین خارج غشایی مورد نیاز برای آغاز اتصال) و پروتئین Tir (Translocated intimin receptor) که عملکرد آن به صورت یک گیرنده برای اینتیمین است کد می‌کنند (۷). پروتئین اینتیمین جزء این گروه از فاکتورها بوده و نقش مهم و بی‌بدیل آن در فرآیند مذکور نیز به اثبات رسیده است،

جدول شماره ۱: طولی پرایمرهای طراحی شده برای تکثیر ژن *eae*

طول توالی تکثیر شده	Tm	توالی پرایمر	پرایمر پیش رو
۹۳۰ نوکلئوتید	۵۶/۷°C	TAAGAATTCAAATCTTCTACCCGGGT	پرایمر پیش رو
۵۵/۵°C	TAGAAAGCTTTATTCAACGCAAACAGC	پرایمر پیرو	

خط زیرین در بخشی از توالی پرایمر پیش رو، نمایانگر جایگاه شناسایی آنزیم EcoRI و در پرایمر پیرو، نمایانگر جایگاه شناسایی آنزیم HindIII می باشد.

لازم به ذکر است که تعداد چرخه ها برای تکثیر از مرحله واسرشتگی ثانویه تا مرحله گسترش رشته در حال سنتز، ۳۴ تکرار بود (۱۴).

برای همسانسازی (Cloning) محصول PCR در وکتور pET28a(+)، پس از تکثیر قطعه ژنی و تخلیص آن به وسیله تیوب های دارای سیلیکا (شرکت Bioneer، کره جنوبی)، واکنش هضم آنزیمی به صورت دو گانه بر روی محصولات PCR همچنین پلاسمید pET28a(+) توسط آنزیم های محدود الاثر EcoRI و HindIII (شرکت Thermo SCIENTIFIC، لیتوانی) انجام شد و واکنش های برشی به مدت ۵ ساعت در دمای ۳۷ درجه انکوبه شدند. پس از اتمام زمان هضم آنزیمی، فرآیند مذکور با انتقال تیوب های محتوی اجزای واکنش به دمای ۸۰ درجه به مدت ۱۰ دقیقه غیرفعال شدند. پلاسمید برش خورده بر روی ژل آگارز با دمای ذوب پایین الکتروفورز شد تا باند برش خورده پلاسمید به شکل اختصاصی استخراج شود. پس از تخلیص محصولات حاصل از واکنش های هضم آنزیمی بر روی رشته های DNA و پلاسمید با کیت تخلیص از ژل (شرکت Bioneer، کره جنوبی)، واکنش الحاق ژن درون وکتور با استفاده T4 DNA Ligase (شرکت Thermo SCIENTIFIC) از آنزیم ۵۰ نانو گرم و با به کار گیری فرمول ۱ برای محاسبه غلظت ژن مورد استفاده با حجم ۳ برابر برای واکنش الحاق انجام شد. اجزای واکنش با هم ترکیب و واکنش به صورت شبانه در دمای ۸ درجه سانتیگراد انکوبه گردید (۱۴).

فرمول شماره ۱:

$$\text{غلظت ژن} = \frac{\text{number of gene base pair}}{\text{number of vector base pair}} \times 3$$

پس از آنالیز توالی نوکلئوتیدی قطعه مذکور توسط نرم افزار تحت شبکه NEBcutter (http://nc2.neb.com/NEBcutter2) NEBcutter جایگاه های برشی EcoRI و HindIII به ترتیب در انتهای ۵ پرایمرهای پیش رو و پیرو در نظر گرفته شدند. همچنین به منظور پایان فرآیند ترجمه، توالی مربوط به کدون خاتمه بر روی پرایمر پیرو قرار گرفت.

برای تکثیر قطعه ژنی توسط تکنیک PCR از پلاسمیدی که دارای یک ژن کایمر محتوی ۹۳۰ نوکلئوتید انتهای ۳' ژن *eae* که در بانک مرکز تحقیقات زیست شناسی دانشگاه امام حسین (ع) ذخیره شده بود، به عنوان الگو استفاده گردید. پلاسمید مذکور به روش لیز قلیابی استخراج شد و میزان ۰/۵ میکرو لیتر از محلول محتوی پلاسمید به عنوان الگو در واکنش زنجیره ای پلیمراز توسط آنزیم Taq DNA پلیمراز مورد استفاده قرار گرفت. همچنین از پرایمرهای پیش رو و پیرو هر کدام با غلظت اولیه ۱۰ میکرومولار، نمک MgSO₄ با غلظت ۲ میلی مولار، dNTP با غلظت ۰/۴ میلی مولار و ۰/۵ میکرو لیتر با فرآنزیم پلیمراز با غلظت ۱۰X برای حجم نهایی واکنش ۲۵ میکرو لیتری استفاده شد. گرادیان دمایی ۵۵-۶۵ درجه سانتیگراد برای فرآیند اتصال پرایمرها (دماج Annealing) برای بهینه سازی واکنش PCR انجام شد. پس از بهینه سازی PCR از آنزیم Pfu DNA پلیمراز برای تکثیر ژن مذکور، به منظور جلوگیری از جهش های ناخواسته استفاده گردید.

چرخه های PCR به شرح زیر انجام شد:

واسرشتگی اولیه در دمای ۹۵ درجه طی ۵ دقیقه، واسرشتگی ثانویه در دمای ۹۴ درجه به مدت ۳۰ ثانیه، اتصال پرایمرها به رشته الگو در دمای ۶۰ درجه طی ۴۰ ثانیه، گسترش رشته جدید به واسطه فعالیت آنزیم پلیمراز در دمای ۷۲ درجه به مدت ۵۵ ثانیه و در نهایت بک مرحله گسترش رشته در دمای ۷۲ درجه به مدت ۵ دقیقه.

نتایج بیان بر روی ژل SDS-PAGE ۱۲٪ برسی گردید (۱۵). به منظور تأیید پروتئین ایتیمین نوترکیب از روش ایمنوبلات وسترن با استفاده از آنتی‌بادی پلی‌کلونال تولیدشده در مرکز تحقیقات زیست‌شناسی دانشگاه امام حسین (ع) علیه یک آنتی‌ژن کایمر دربرگیرنده انتهای کربوکسیل ایتیمین به عنوان یکی از زیراحدهای آن استفاده گردید.

ابتدا عصاره سلولی نمونه القاشده و القانشده، همچنین پروتئین BSA بر روی ژل SDS-PAGE ۱۲٪ الکتروفورز شدند. سپس فرآیند لکه‌گذاری وسترن بر روی کاغذ نیتروسلولز با استفاده از سیستم لکه‌گذاری Bio Rad و بافر مخصوص آن (گلاسین ۱۹۲ میلی‌مولار، تریس ۲۵ میلی‌مولار، ۱٪ SDS و متابول ۲۰٪ با pH = ۸/۳) صورت پذیرفت. بلاک نمودن کاغذ نیتروسلولز به صورت شبانه با استفاده از محلول بلاکینگ (محتوی ۵٪ شیر خشک در بافر PBST) انجام شد. نمونه پس از ۳ بار شست و شو در بازه‌های زمانی ۱۰ دقیقه‌ای توسط بافر PBST، در معرض آنتی‌بادی پلی‌کلونال مذکور با رقت ۱/۳۵۰۰ به مدت ۱ ساعت در دمای ۳۷ درجه سانتی‌گراد قرار گرفت. فرآیند شست و شو مانند قبل تکرار شد و این بار از آنتی‌بادی پلی‌کلونال موشی کونزوگه به آنزیم HRP در غلظت ۱/۱۵۰۰ برای پوشاندن سطح کاغذ در دمای ۳۷ درجه و به مدت ۱ ساعت استفاده شد. پس از تکرار فرآیند شست و شو، واکنش رنگ‌پذیری باند مربوط به ایتیمین با افزودن سوبسترا آنزیم کونزوگه HRP (تریس ۵۰ میلی‌مولار، ۶ میلی‌گرم DAB (Diaminobenzidine) و ۱۰ میکرولیتر H_2O_2) انجام شد. در نهایت، برای توقف واکنش رنگ‌پذیری، محلول محتوی سوبسترا از محیط با شست و شوی کاغذ توسط ddH₂O حذف گردید (۱۵).

یافته‌ها

با انجام BLAST از پایگاه بیوانفورماتیک NCBI (http://blast.ncbi.nlm.nih.gov/Blast.cgi) میزان اختصاصیت پرایمرها برای بخش مورد نظر ژن *eae* برسی و مشخص گردید هر دو پرایمر با اختصاصیت بالا، قطعه مورد نظر را در بانک ژنی شناسایی می‌کنند. پس از دریافت پرایمرها و آماده‌سازی آنها، بهینه‌سازی واکنش PCR برای تکثیر ژن در دماهای مختلف اتصال

سلول‌های میزبان مستعد باکتری *E. coli* BL21(DE3) به روش شیمیایی با استفاده از نمک‌های MgCl_2 و CaCl_2 به ترتیب با غلظت‌های ۱۰۰ میلی‌مولار و ۸۵ میلی‌مولار تهیه شدند. سپس ۱۰ میکرولیتر از محصول واکنش الحاق به صورت شوک حرارتی با فراردادن تیوب‌های حاوی مخلوط سلول‌های مستعد و پلاسمیدهای نوترکیب در حمام آب گرم با درجه حرارت ۳۷ درجه به مدت ۵ دقیقه و متعاقب آن قرار دادن تیوب‌ها در حمام بخ به مدت ۲۰ دقیقه، به این سلول‌ها منتقل شد و سلول‌های میزبان تاریخت‌شده بر روی محیط کشت LB آگار حاوی آنتی‌بیوتیک کانامایسین با غلظت ۸۰ میکروگرم بر میلی‌لیتر (نظر به اینکه ژن مقاومت آنتی‌بیوتیک بر روی وکتور pET28a(+) به اینکه ژن مقاومت آنتی‌بیوتیک کانامایسین باشد) کشت داده شد و به صورت شبانه در دمای ۳۷ درجه سانتی‌گراد انکوبه گردید (۱۴).

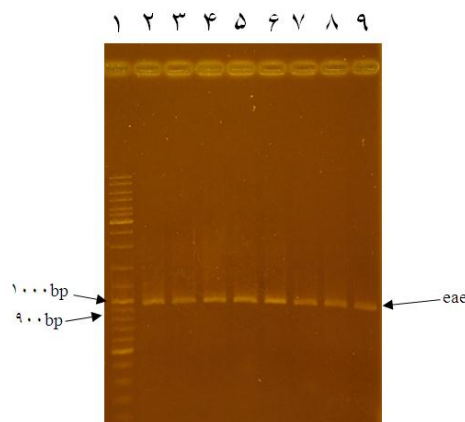
برای تأیید همسانسازی ژن چند کلونی از کلون‌های رشدیافته بر روی محیط انتخابی LB آگار، انتخاب و به محیط LB براث حاوی آنتی‌بیوتیک کانامایسین (۸۰ میکروگرم بر میلی‌لیتر) منتقل گردید. پس از اینکه جذب نوری سلول‌ها در طول موج ۶۰۰ نانومتر به ۰/۸ رسید، استخراج پلاسمید به روش لیز قلایی انجام شد. برای تأیید همسانسازی قطعه ژنی مورد نظر درون وکتور pET28a(+)، از سه تکنیک PCR، واکنش هضم آنزیمی، همچنین توالی‌یابی توسط پرایمرهای عمومی T7 اپراتور و ترمیناتور (Operator and Terminator T7 Universal Primers) استفاده گردید.

پس از تأیید همسانسازی قطعه ژنی، از کلون‌های رشد کرده در محیط LB براث به صورت شبانه، میزان ۵ میکرولیتر به ۵ میلی‌لیتر محیط LB براث تازه و استریل حاوی آنتی‌بیوتیک کانامایسین (۴۰ میکروگرم بر میلی‌لیتر) منتقل شد.

نظر به اینکه بیان ژن در سویه BL21(DE3) تحت کترل اپرون lac می‌باشد پس از اینکه جذب نوری محیط کشت در طول موج ۶۰۰ نانومتر به حدود ۰/۵ رسید از ماده القاگر مصنوعی ایزوپروپیل-۱-D-۱-گالاكتوپیرانوزید (IPTG) با غلظت ۱ میلی‌مولار برای القای بیان ژن مورد نظر استفاده شد و سپس سلول‌ها به مدت ۵ ساعت در دمای ۳۷ درجه سانتی‌گراد در دستگاه شیکر با سرعت ۱۵۰ دور در دقیقه انکوبه شدند.

نظر به اینکه آنزیم مذکور صحت همسانسازی بالایی ندارد، لذا تکثیر نهایی رشته الگو به وسیله آنزیم *Pfu DNA* پلیمراز (شرکت *Vivantis*, چین) انجام شد.

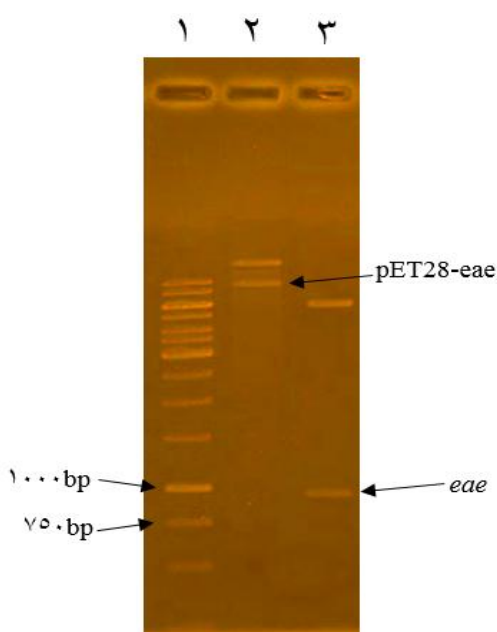
پرایمر به رشته الگو (که در بخش قبل به آن اشاره شد) به وسیله آنزیم *Taq DNA* پلیمراز (شرکت کوثر، ایران) صورت پذیرفت (شکل شماره ۱).



شکل شماره ۱: الکتروفورز ژن *eae* بر روی ژل آگارز ۱٪؛ ردیف ۱: نشانگر مولکولی *DNA* (100bp DNA size marker.ThermoSIENTIFIC. # SM0331)؛ ردیف ۲-۹: محصول PCR در گرادیان دمایی ۵۵-۶۵ درجه سانتیگراد. با بررسی شکل مشخص است که کیفیت باند مربوط به ژن *eae* در تمام دماها مناسب است. لذا دمای میانی این گرادیان؛ یعنی دمای ۶۰ درجه به عنوان دمای بهینه برای باقی فرآیندهای تکثیری ژن مدنظر قرار گرفت.

توسط حامل نوترکیب به محیط کشت مایع و استخراج پلاسمید، با استفاده از واکنش‌های هضم آنزیمی توسط آنزیم‌های محدودالاثر (شکل شماره ۲) مشخص گردید که ژن با موفقیت درون وکتور همسانسازی شده است.

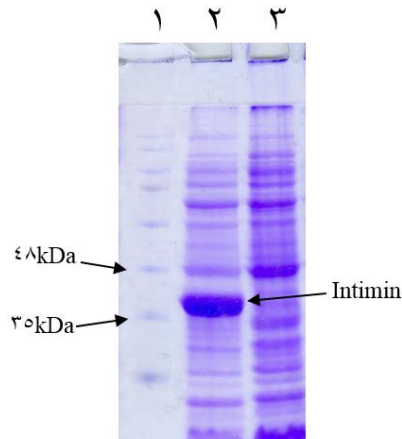
با فراهم آمدن پایانهای چسبنده برای ژن و وکتور از طریق برش آنزیمی دوگانه، فرآیند الحق ژن درون محدودالاثر (شکل شماره ۲) مشخص گردید که ژن با موفقیت درون وکتور تراریخت شده T4 DNA لیگاز انجام شد. پس از انتقال کلون‌های تراریخت شده



شکل شماره ۲: الکتروفورز هضم آنزیمی وکتور نوترکیب *pET28a-eae* بر روی ژل آگارز ۱٪؛ ردیف ۱: نشانگر مولکولی *DNA* (1kb DNA size marker.ThermoSIENTIFIC. # SM0313). ردیف ۲: وکتور *pET28a-eae* برش نخورده. ردیف ۳: هضم دوگانه وکتور توسط آنزیم‌های *EcoRI* و *HindIII*. قطعه برش خورده مربوط به ژن *eae* با نشانگر مشخص شده است و مطابق اندازه دقیق آن بر حسب تعداد جفت باز در مقابل نشانگر مولکولی قرار گرفته است.

SDS-PAGE پس از افزودن بافر نمونه حاوی 10% SDS بر روی ژل الکتروفورز شدند. نتایج نشان داد بیان نوترکیب اندامین انتهای کربوکسیل ایتیمین در نمونه القاشه در مقایسه با نمونه القاشه بسیار مناسب و چشمگیر است (شکل شماره ۳).

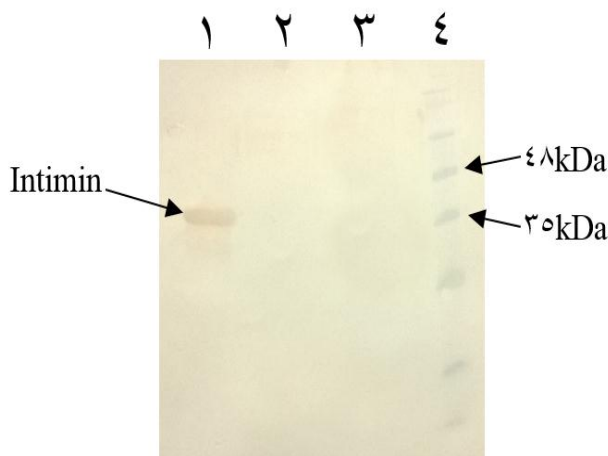
با القای بیان پروتئین تحت کنترل اپرون lac در شرایط انکوباسیون استاندارد، سلول‌های القاشده و القانشده جمع‌آوری و توسط بافر لیزکننده (محتوی NaH_2PO_4 ۱۰۰ میلی‌مولار؛ NaCl ۲۰۰ میلی‌مولار و Tris-HCl ۱۰ میلی‌مولار با $\text{pH}=8$) شکسته شدند و



شکل شماره ۳: الگوی ییان پروتئین اینتیمین بر روی ژل SDS-PAGE. ردیف ۱: نشانگر مولکولی پروتئین (10- 250 kDa). Sinaclon PR911641 (KDa). ردیف ۲: نمونه القاشه توسط IPTG. ردیف ۳: نمونه القاشه (کنترل منفی). باند بیانی مربوط به پروتئین اینتیمین در محدوده ۳۴ کیلو Daltonی در ردیف ۲ در مقایسه با باندهای نشانگر پروتئینی مشخص است. در این محدوده باندی در ردیف ۳ که مربوط به الکتروفورز نمونه القاشه (کنترل منفی) می‌باشد دیده نمی‌شود.

مشخص گردید باند رنگی مربوط به پروتئین در جایگاه متناسب با وزن مولکولی خود؛ یعنی در مقابل باند ۳۴ کیلودالتونی، نشانگر مولکولی پروتئین قرار گرفته است (شکل شماره ۴).

در پایان، به منظور بررسی صحت پروتئین نوترکیب انتهای کربوکسیل اینتیمین از آنالیز وسترن بلاط استفاده شد. برای این منظور باند رنگ گرفته بر روی کاغذ نیتروسلولز در مقایسه با نمونه القانشده و نمونه کنترل آنتی بادی (پروتئین BSA) بررسی و



شکل شماره ۴: الکتروفورز پروتئینی بروتینین بر روی کاغذ نیتروسلوژ. ردیف ۱: نمونه القاشه توسط IPTG؛ ردیف ۲: نمونه القانشده؛ ردیف ۳: پروتئین BSA به عنوان کنترل ایمنوبلات؛ ردیف ۴: نشانگر مولکولی بروتینین (250-10)، Prestained Protein Ladder. در ردیف ۱ باند مربوط به ایتمیمین طی واکنش وسترن رنگ گرفته است و در هنگام قیاس با باندهای KDa. Sinadclon PR911641 نشانگر مولکولی در جایگاه صحیح خود؛ یعنی محدوده ۳۴-۳۶ کیلودالتون قرار گرفته است.

بحث

بیان پروتئین ایتیمین به مقدار بسیار مطلوب در قیاس با نمونه القائشده (کترل منفی) با موفقیت همراه بوده است. Gu و همکاران نیز از سامانه وکتورهای خانواده pET برای همسانسازی ایتیمین استفاده کردند و به نتایج مطلوبی برای بیان نوترکیب آن دست یافتند (۲۵، ۲۶). در مطالعه انجام شده توسط این گروه از ۳۰۰ اسید آمینه انتهای کربوکسیل ایتیمین به عنوان کاندید واکسن استفاده شد، در صورتی که در آنالیز بیوانفورماتیکی صورت گرفته در این پژوهش مشخص گردید ۱۱ باقیمانده ابتدایی دُمین کربوکسیل این پروتئین دارای ابی توب‌های خطی بوده که توسط سیستم ایمنی شناسایی می‌شوند. Peng و همکاران نیز اقدام به همسانسازی و بیان نوترکیب پروتئین ایتیمین به شکل کامل نمودند؛ به نحوی که محصول نهایی آنها پروتئینی با وزن مولکولی ۹۷ کیلو Dalton بود، در صورتی که تنها بخش دخیل از این پروتئین که در فرآیند لانه‌گرینی باکتری شرکت می‌کند دُمین انتهای کربوکسیل آن می‌باشد (۲۷). همسانسازی و بیان این پروتئین به صورت کایمر با سایر فاکتورهای دخیل در بیماری‌ایی عامل EHEC به شکل موفقیت‌آمیز انجام شده و منجر به شکل‌گیری ساختارهای مناسبی برای بیان پایدار آن شده است (۲۶). در نهایت، به منظور اطمینان از صحت پروتئین بیان‌شده، از واکنش کیفی لکه‌گذاری وسترن با استفاده از آنتی‌بادی پلی‌کلونال علیه آنتی‌ژنی کایمر که ایتیمین جزء زیرواحدهای آن می‌باشد استفاده شد و مشخص گردید آنتی‌بادی مذکور می‌تواند به خوبی ایتیمین را شناسایی کند. در سایر پژوهش‌های صورت گرفته در این حوزه نیز به دلیل عدم وجود آنتی‌بادی مونوکلونال تجاری علیه ایتیمین، از آنتی‌بادی پلی‌کلونال استفاده شده است. به عنوان نمونه Gu و همکاران در تحقیقات خود از آنتی‌بادی پلی‌کلونال (تولید شده علیه ایتیمین در خرگوش) برای تأیید بیان نوترکیب ایتیمین استفاده کردند (۲۶). Peng و همکاران نیز در پژوهشی که انجام دادند از آنتی‌بادی پلی‌کلونال تولید شده علیه باکتری E. coli O157:H7 برای تأیید این پروتئین استفاده کردند که این خود از دقت و صحت کار می‌کاهد (۲۷).

نتیجه‌گیری

طبق نتایج این مطالعه، ساخت سازه‌های ژنی و دستیابی به

باکتری‌های پاتوژن روده‌ای عوامل خطرناکی هستند و چنانچه تمھیداتی مناسب برای مقابله با آنها در نظر گرفته نشود می‌توانند عواقب جدی و جبران ناپذیری را در فرد آلوده ایجاد کنند (۱۶، ۱۷). مرگ و میر ناشی از مصرف غذاهای آلوده به سویه‌های بیماری‌زای *E. coli* سهم به سزایی از نگرانی‌های کلینیکی را به خود اختصاص داده است (۱۸، ۱۹). *E. coli* سویه O157:H7 نیز با تولید توکسین منجر به آسیب‌های جدی به دیواره لوله گوارش و در شکل وخیم‌تر منجر به آسیب کلیه افراد آلوده به آن می‌شود (۱۹). مطالعات گسترده‌ای در سطح کشور برای بررسی بروز و شیوع سویه‌های بیماری‌زای این پاتوژن انجام شده است که از جمله آن می‌توان به مطالعه سلطان دلال و همکاران (۲۰)، تمھمن و همکاران (۲۱) و کارگر و همایون (۲۲) اشاره کرد که به ترتیب به بررسی آلودگی نمونه آب چاه‌های تهران، بخشی از احشام شیراز و نمونه‌های جداسده از همبرگر پرداختند. تکنولوژی DNA نوترکیب، شرایطی را فراهم می‌سازد که می‌توان با بهره‌گیری از تکنیک‌های آن، بخش‌هایی از این عوامل را که در بروز بیماری‌زایی به واسطه آنها نقش اساسی دارند، به عنوان آنتی‌ژن همسانسازی کرده و پس از بیان نوترکیب به عنوان کاندید واکسن، میزان ایمن‌سازی آنها علیه آن پاتوژن مورد بررسی قرار گیرد (۲۳). لذا در این مطالعه با هدف بررسی فاکتورهای دخیل در لانه‌گرینی پاتوژن مذکور در لوله گوارش، تلاش گردید تا کاندیدی مناسب از بین فاکتورهای بیماری‌زای آن انتخاب شده و به شکل نوترکیب تولید و در مطالعات آینده به عنوان کاندید واکسن مورد ارزیابی قرار گیرد. باکتری *E. coli* یکی از اولین و وسیع‌ترین میزان‌هایی است که برای تولید پروتئین به شکل نوترکیب استفاده می‌شود و دارای مزایای فراوانی از جمله بیان سریع، راندمان بالای محصول و هزینه تولید کم می‌باشد (۲۴). نظر به اینکه در مطالعه حاضر باکتری *E. coli* BL21(DE3) به عنوان میزان برای بیان نوترکیب پروتئین ایتیمین مدنظر قرار گرفته بود، لذا از وکتور (+) pET28a(+) که با سیستم بیانی میزان سازگار است استفاده گردید. همچنین لازم به ذکر است با توجه به اینکه بیان پروتئین در این دسته از وکتورها تحت کنترل اپرون قوی lac می‌باشد، لذا با به کار گیری آنالوگ مصنوعی آلولاکتوز (IPTG)،

تشکر و قدردانی

نتایج این پژوهش حاصل از پایان‌نامه دوره دکتری نانویوتکنولوژی می‌باشد که هزینه اجرای آن توسط دانشگاه امام حسین (ع) تأمین شده است. بر خود لازم می‌دانم از تمام اساتید مرکز زیست‌شناسی و مسئولان محترم حوزه پژوهش دانشگاه کمال تشکر و قدردانی را ابراز دارم.

ساختارهای پایدار و مناسب برای بیان نوترکیب آنتی‌ژن‌های کاندید واکسن علیه پاتوژن‌های عفونی، یکی از بهترین روش‌ها برای انجام مطالعات پیشگیرانه علیه آنها می‌باشد. در این پژوهش نیز با همسانسازی موفقیت‌آمیز و بیان انتهای کربوکسیل پروتئین ایتیمین به شکل نوترکیب، ساختاری پایدار و مطمئن برای تولید این آنتی‌ژن به منظور انجام مطالعات بعدی حاصل گردید.

References:

- Evans J, Knight H, McKendrick IJ, Stevenson H, Varo Barbudo A, Gunn GJ, et al. Prevalence of Escherichia coli O157:H7 and serogroups O26, O103, O111 and O145 in sheep presented for slaughter in Scotland. *J Med Microbiol* 2011;60(5):653-60.
- Nazarian S, Gargari SL, Rasooli I, Alerasol M, Bagheri S, Alipoor SD. Prevalent phenotypic and genotypic profile of enterotoxigenic Escherichia coli among Iranian children. *Jpn J Infect Dis* 2014;67(2):78-85.
- Mousavi SL, Rasooli I, Nazarian S, Amani J. Simultaneous detection of Escherichia coli O157:H7, toxigenic Vibrio cholerae, and Salmonella typhimurium by multiplex PCR. *Iran J Clin Infect Dis* 2009;4(2):97-103.
- Larrie-Bagha SM, Rasooli I, Mousavi-Gargari SL, Rasooli Z, Nazarian S. Passive immunization by recombinant ferric enterobactin protein (FepA) from Escherichia coli O157. *Iran J Microbiol* 2013;5(2):113-19.
- Eklund M. Enterohemorrhagic Escherichia coli (EHEC) Findings from Humans in Finland. Finland: Publications of the National Public Health Institute; 2005.
- Garmendia J, Frankel G, Crepin VF. Enteropathogenic and enterohemorrhagic Escherichia coli infections: Translocation, Translocation, Translocation. *Infect Immun* 2005;73(5):2573-85.
- Elliott SJ, Sperandio V, Girón JA, Shin S, Mellies JL, Wainwright L, et al. The Locus of Enterocyte Effacement (LEE)-encoded regulator controls expression of both LEE- and Non-LEE-encoded virulence factors in enteropathogenic and enterohemorrhagic Escherichia coli. *Infect Immun* 2000;68(11):6115-26.
- Schroeder GN, Hilbi H. Molecular pathogenesis of Shigella spp: Controlling host cell signaling, invasion, and death by type III secretion. *Clin Microbiol Rev* 2008;21(1):134-56.
- Croxen MA, Finlay BB. Molecular mechanisms of Escherichia coli pathogenicity. *Nat Rev Microbiol* 2010;8(1):26-38.
- Khaloie F, Porfarzam P, Rasooli I, Amani J, Nazarian S, Mousavi SL. In silico analysis of chimeric recombinant immunogen against three diarrhea causing bacteria. *J Cell Mol Res* 2013;5(2):65-74.
- Ramachandran V, Brett K, Hornitzky MA, Dowton M, Bettelheim KA, Walker MJ, et al. Distribution of intimin subtypes among Escherichia coli Isolates from ruminant and human sources. *J Clin Microbiol* 2003;41(11):5022-32.
- Stothard P. The sequence manipulation suite: Java Script programs for analyzing and formatting protein and DNA sequences. *Biotechniques* 2000;28(6):1102-4.
- Vincze T, Posfai J, Roberts RJ. NEBcutter: A program to cleave DNA with restriction enzymes. *Nucleic Acids Res* 2003;31(13):3688-91.
- Sambrook J, Russell DW. Molecular cloning: A laboratory manual. New York: CSHL Press; 2001.
- Bollag DM, Michel DR, Edelstein SJ. Protein methods. 2nd ed. New York: Wiley-Liss; 1996.

16. Nazarian S, Gargari SL, Rasooli I, Hasannia S, Pirooznia N. A PLGA-encapsulated chimeric protein protects against adherence and toxicity of enterotoxigenic Escherichia coli. *Microbiol Res* 2014;169(2-3):205-12.
17. Nazarian S, Mousavi Gargari SL, Rasooli I, Amani J, Bagheri S, Alerasool M. An in silico chimeric multi subunit vaccine targeting virulence factors of enterotoxigenic Escherichia coli (ETEC) with its bacterial inbuilt adjuvant. *J Microbiol Methods* 2012;90(1):36-45.
18. Bakhshi M, Ebrahimi F, Zargan J, Nazarian S, Sheikhzade V. Cloning and recombinant expression of EspA as a virulence factor of *E. coli* O157:H7. *J Mazandaran Univ Med Sci* 2014;24(117):12-20. [Full Text in Persian]
19. Gyles CL. Shiga toxin-producing *Escherichia coli*: An overview. *J Anim Sci* 2007;85(13 Suppl):45-62.
20. Soltan Dallal MM, Sepehri S, Tabatabaei Bafrouei A, Deilami Khiabani Z. Determination of genotype variation of *Escherichia coli* in well water of Tehran's parks by Multiplex PCR. *Pejouhandeh* 2011;16(5):226-33. [Full Text in Persian]
21. Tahamtan Y, Pourbakhsh SA, Hayati M, Namdar N, Shams Z, Namvari MM. Prevalence and molecular characterization of verotoxin-producing *Escherichia coli* O157:H7 in cattle and sheep in Shiraz-Iran. *Arch Razi Ins* 2011;66(1):29-36.
22. Kargar M, Dianati P, Homayoon M, Jamali H. Isolation, Characterization and antibiotic resistance of shiga toxin-producing *Escherichia coli* in hamburger and evolution of virulence genes stx1, stx2, eaeA and hly by Multiplex PCR. *J Fasa Univ Med Sci* 2013;3(3):208-14. [Full Text in Persian]
23. Demain AL, Vaishnav P. Production of recombinant proteins by microbes and higher organisms. *Biotechnol Adv* 2009;27(3):297-306.
24. Baneyx F. Recombinant protein expression in *Escherichia coli*. *Curr Opin Biotechnol* 1999;10(5):411-21.
25. Gu J, Liu Y, Yu S, Wang H, Wang Q, Yi Y, et al. Enterohemorrhagic *Escherichia coli* trivalent recombinant vaccine containing EspA, intimin and Stx2 induces strong humoral immune response and confers protection in mice. *Microbes Infect* 2009;11(10-11):835-41.
26. Gu J, Ning Y, Wang H, Xiao D, Tang B, Luo P, et al. Vaccination of attenuated EIS-producing *Salmonella* induces protective immunity against enterohemorrhagic *Escherichia coli* in mice. *Vaccine* 2011;29(43):7395-403.
27. Peng LJ, Zhou Y, Yang Y, Hui CY, Zhao W, Wan CS. Gene cloning, prokaryotic expression and functional evaluation of intimin from enterohemorrhagic *Escherichia coli* O157:H7. *Nan Fang Yi Ke Da Xue Xue Bao* 2009;29(4):707-210.

Cloning and Recombinant Expression of Intimin C-Terminal Domain of EHEC Pathogen in *E. coli* BL21(DE3) Strain

Mostafa Bakhshi¹, Firouz Ebrahimi^{2*}, Vahide Sheikhzade³

¹PhD Student of
Nanobiotechnology, Biology
Research Center, Faculty &
Institute of Basic Sciences,
Imam Hossein University,
Tehran, Iran.

²Assistant Professor of
Clinical Biochemistry,
Biology Research Center,
Faculty & Institute of Basic
Sciences, Imam Hossein
University, Tehran, Iran.

³Master of Sciences in Food
Technology, Department of
Food Science & Technology,
Islamic Azad University,
Quchan, Iran.

Abstract

Background and Objectives: Some intestinal infections are caused by pathogens that enter the gastrointestinal tract of humans by consumption of contaminated food. A set of proteins are involved in colonization of *E. coli* O157:H7 in the large intestine, some of which initiate this phenomenon and their absence prevents it. The aim of this study was cloning and recombinant expression of C-terminal polypeptide of intimin, with a length of 300 amino acids, as a vaccine candidate against *E. coli* O157:H7.

Methods: Specific primers for *eae* gene were designed using Oligo software version 7.0 and gene amplification was performed by PCR from template DNA. Enzymatic digestion and gene ligation were performed in pET28a(+) vector. Recombinant expression of intimin was done by IPTG inducer following the cloning confirmation. Western blotting analysis was performed to confirm the intimin protein.

Results: Cloning of *eae* gene in the pET28a (+) vector was performed appropriately among desired sites, and intimin protein had a proper and significant recombinant expression after the induction. Also, the antibody used in western blotting could identify intimin.

Conclusion: In this study, a stable construct containing *eae* gene was synthetized, which showed an appropriate recombinant expression of intimin protein. Therefore, this construct can be used to produce intimin protein for immunization studies against *E. coli* O157:H7.

Keywords: *Escherichia coli*; C-terminal domain of intimin; Cloning; Recombinant protein.

Email:
febrhimi@ihu.ac.ir

Received: 30 Nov, 2014

Accepted: 2 Feb, 2015